

Heat Sealing of Polypropylene Film in Flexible Packaging

Khemchai HEMACHANDRA, Nataya EUAPITAKSAKUL

Department of Materials Science, Faculty of Science, Chulalongkorn University

Abstract

Five kinds of flexible packaging films composed of oriented polypropylene as a main substrate were selected for heat sealing. It was aimed to study both machine and film factors influencing seal integrity by considering seal strength and mode of failure.

การปิดผนึกด้วยความร้อนของฟิล์มพอลิไพรพลีนที่ใช้ในบรรจุภัณฑ์ชนิดอ่อน

เข็มชัย เหงษ์จันทร์, นาถยา เอื้อพิทักษ์สกุล
ภาควิชาวัสดุศาสตร์ คณะวิทยาศาสตร์ จุฬาลงกรณ์มหาวิทยาลัย

บทคัดย่อ

นำฟิล์มที่ใช้ในงานบรรจุภัณฑ์ชนิดอ่อนที่ประกอบด้วยฟิล์มพอลิไพรพลีนเป็นฟิล์มชั้นนอก จำนวน 5 ชนิด มาทดสอบการปิดผนึกด้วยความร้อน เพื่อหาปัจจัยที่มีผลต่อความสมบูรณ์ของรอยผนึก โดยพิจารณาทั้งจากเครื่องปิดผนึกและฟิล์มที่ใช้แล้ว วัดค่าความแข็งแรงของรอยผนึกและคุณภาพเบนการขาดของฟิล์ม

คำนำ

บรรจุภัณฑ์ หมายถึง อุปกรณ์ที่ใช้ในการห่อหุ้มหรือบรรจุวัสดุสิ่งของต่างๆ ทุกชนิด ทึ้งที่เป็นของแข็ง ของเหลว หรือก๊าซ วัสดุที่นำมาบรรจุภัณฑ์มีมากขยะหลายชนิด ได้แก่ แก้ว ไม้ โลหะ กระดาษ ใบทอง และพลาสติกชนิดต่างๆ เป็นต้น

ปัจจุบัน พลาสติกเป็นวัสดุที่นิยมนำมาใช้ในการทำบรรจุภัณฑ์ เพราะมีสมบัติเหนือกว่าวัสดุประเภทอื่น เช่น ทนต่อการแตก มีความยืดหยุ่น มีความโปร่งใส น้ำหนักเบา ราคา

ถูกและสามารถเลือกใช้ตามความเหมาะสมของผลิตภัณฑ์ที่จะบรรจุ นอกจากนี้ยังสามารถผลิตเป็นบรรจุภัณฑ์ได้หลายชนิด ทั้งชนิดแข็ง กึ่งแข็ง และชนิดอ่อน โดยเฉพาะบรรจุภัณฑ์ประเภทอาหาร อาหารแห้ง เช่น ก๊อกเป็ง ยารักษาโรคและเครื่องดูปไปก็คต่างๆ

ฟิล์มพอลิไพรพลีน เป็นฟิล์มพลาสติกประเภทหนึ่งที่นิยมใช้กันมากในการผลิตบรรจุภัณฑ์ชนิดอ่อนเนื่องจากมีคุณสมบัติในการป้องกันความชื้นได้ดี มีความเงา มันสูง น้ำหนักเบา และสามารถนำไปประกอบกับวัสดุหรือพลาสติกชนิดอื่นๆ ให้ได้ฟิล์มที่มีโครงสร้างหลายชั้น การ

เลือกพิล์มให้เหมาะสมกับผลิตภัณฑ์ที่จะบรรจุนั้นมีความสำคัญ และอีกสิ่งหนึ่งที่ต้องคำนึงถึงในการผลิตบรรจุภัณฑ์นั้น ก็คือ การปิดผนึก เมื่อจากด้านอยู่ที่ปิดผนึกมีรูรั่วหรือไม่แข็งแรงแล้ว ผลิตภัณฑ์ที่ถูกบรรจุไว้จะเกิดความเสียหายจากสภาพแวดล้อมภายนอกได้ การปิดผนึกเป็นการทำให้เกิดพันธะระหว่างพิล์มพลาสติกแล้วทำให้พิล์มพลาสติกทึบแสง เชื่อมติดกัน การทำให้เกิดพันธะระหว่างพิล์มที่มาสัมผัสกันนั้น ต้องอาศัยปัจจัยที่ให้ไม่เลกฤทธิ์ของแผ่นพิล์มเกิดการเคลื่อนที่มาสัมผัสและสร้างพันธะระหว่างกันนี้ โดยการใช้แรงกด การใช้อัลตราโซนิกส์ และการใช้ความร้อน

โดยทั่วไปการปิดผนึกพิล์มประเภทเทอร์ไวน์พลาสติก หรือพิล์มที่ใช้บรรจุผลิตภัณฑ์อาหารที่มีการบรรจุโดยมีระบบการแยกเปลี่ยนก้าช มักจะใช้การปิดผนึกด้วยความร้อน (1-4) เมื่อจากให้ข้อดีหลายประการ คือ ลักษณะของผนึกมีความแน่นซึ่งสามารถป้องกันการผ่านเข้าออกของกลิ่น ก้าช ไอน้ำ และจุลินทรีย์ได้ การปิดผนึกพิล์มเหล่านี้ทำได้ง่าย สะดวก และครื่องมือที่ใช้มีราคาไม่สูงมาก นอกจากนี้ยังใช้เวลาสั้น ทำให้อัตราเร็วในการผลิตสูงขึ้น

การปิดผนึกด้วยความร้อนของพิล์มนิดอ่อน ต้องคำนึงถึงปัจจัย 3 ประการ คือ ปัจจัยจากเครื่องปิดผนึก เรซิโน่ และพิล์มที่ใช้ (Robertson, 1993) ส่วนมากแล้วจะพิจารณาจากนิคของพิล์มก่อน เพื่อให้เหมาะสมต่อผลิตภัณฑ์ที่จะบรรจุงานวิจัยนี้วัดถูกประสงค์ ในการหอஇதிபலของเครื่องปิดผนึกและพิล์มที่มีผลต่อความสมบูรณ์ของรอบปิดผนึกโดยกระบวนการปิดผนึกด้วยความร้อนของพิล์มบรรจุภัณฑ์ชนิดอ่อน

วัสดุ

วัสดุที่ใช้ในการวิจัย ใช้พิล์มพอลิโพรพิลีน (polypropylene) ที่มีส่วนประกอบของชั้นพิล์มและผลิตด้วยกระบวนการผลิตที่แตกต่างกัน ตั้งแสดงในตารางที่ 1

ตารางที่ 1 พิล์มพอลิโพรพิลีนที่ใช้ในการทดลอง

ชนิดของพิล์ม ของพิล์ม (ไมโครเมตร)	ความหนา ของพิล์ม	กระบวนการผลิตพิล์ม
		การประคบแบบอัครีค
OPP20/PE25/LLDPE25	70	การประคบแบบอัครีค
OPP20/PE30	50	การประคบแบบอัครีค
OPP20/PE28	48	การประคบแบบอัครีค
OPP20/PP30	50	การประคบแบบอัครีค
OPP20/PP25	45	การประคบแบบอัครีค
OPP20/CPP30	50	การประคบแบบแห้ง
OPP20/CPP20	40	การประคบแบบแห้ง
OPP20/MCPP25	45	การประคบแบบแห้ง
OPP20/MCPP25	50	การประคบแบบแห้ง

หมายเหตุ

- คำย่อของพิล์มที่ใช้

OPP	= Oriented Polypropylene
PE	= Polyethylene
LLDPE	= Linear Low Density Polyethylene
PP	= Polypropylene
CPP	= Cast Polypropylene
MCPP	= Metallized Cast Polypropylene

2. ตัวเลขที่ตามหลังชื่อของพิล์ม คือ ความหนาของพิล์มในแต่ละชั้นมีหน่วยเป็นไมโครเมตร

3. พิล์ม OPP เป็นพิล์มชั้นนอกสุด พิล์มชั้นในสุดทำหน้าที่เป็นชั้นสำหรับปิดผนึก

อุปกรณ์และวิธีการ แบ่งการศึกษาออกได้ดังนี้ การศึกษาลักษณะของพิล์มก่อนการปิดผนึก

- ศึกษาโครงสร้างในแต่ละชั้นของพิล์มว่าประกอบด้วยพอลิเมอร์ชนิดใด จำนวนชั้นของพอลิเมอร์ที่ประกอบกันเป็นพิล์มกระบวนการผลิตและความหนาของแผ่นพิล์ม ข้อมูลเหล่านี้ได้จากผู้ผลิตดังแสดงในตารางที่ 1

Heat Sealing of PP Film in Flexible Packaging.

2. นำพิล์มน้ำหนาทดสอบความต้านทานแรงดึงด้าน มาตรฐาน JIS K7127 โดยใช้เครื่อง Strograph E-S Universal Tensile Testing Machine โดยกำหนดภาวะของเครื่องในการทดสอบ ดังนี้

ขนาด load cell	500 นิวตัน
ระยะทดสอบ (gage length)	50 มิลลิเมตร
อัตราเร็วในการดึง	100 มิลลิเมตรต่อนาที
ตัวอย่างพิล์มที่ใช้ในการทดสอบตัดเป็นรูปสี่เหลี่ยม ผืนผ้าขนาด 15 มิลลิเมตร x 150 มิลลิเมตร	

เริ่มทดสอบโดยการจับตัวอย่างพิล์มด้วยตัวจับของเครื่องจากนั้นจึงเริ่มดึงขึ้นตัวอย่างแล้วอ่านค่าของแรงที่ทำให้พิล์มขาดที่ได้จากการฟรื้อน้ำปั๊บของเครื่อง มีหน่วยเป็นนิวตัน

3. หาจุดหลอมเหลวของพิล์มที่ทำหน้าที่เป็นชั้นสำหรับการปิดผนึกตามมาตรฐาน ASTM D3417 โดยใช้เครื่อง Differential Scanning Calorimeter (DSC) รุ่น Netzsch DSC2000 โดยการเตรียมตัวอย่างพิล์มประมาณ 4-5 มิลลิกรัม ใส่ไว้ในถุงอะลูมิเนียมที่มีฝ่าปีด และใช้ถุงอะลูมิเนียมที่ไม่มีตัวอย่างเป็นถุงห้องอิง นำถุงทั้งสองไปวางไว้ในเครื่อง DSC ก่อนจะให้ความร้อนแก่ตัวอย่าง ให้ทำการໄล์ก้าซอกซิเจน ภายในเครื่องออกด้วยก้าช์ไนโตรเจนเป็นเวลา 5 นาที จากนั้นจึงเริ่มให้ความร้อนด้วยอัตรา 10 องศาเซลเซียสต่อนาที โดยเริ่มต้นที่อุณหภูมิห้องที่ 25 องศาเซลเซียสลงถึงที่อุณหภูมิ 200 องศาเซลเซียส ในขณะที่มีการให้ความร้อนจะมีการป้อนก้าช์ไนโตรเจนในอัตรา 15 มิลลิลิตร/นาที อ่านค่าจุดหลอมเหลวของพิล์มจากกราฟความสัมพันธ์ระหว่างค่าการไหลของความร้อน (heat flow) และอุณหภูมิ

4. หาความแข็งแรงของการประกอบ (lamination strength) โดยการนำชิ้นตัวอย่างขนาด 15 มิลลิเมตร x 150 มิลลิเมตร มาแยกชิ้นของพิล์มที่เป็นวัสดุหลักกับสารปิดผนึกออก โดยให้เหลือส่วนที่ซึ้งไม่ได้แยกไว้ข้าง 100 มิลลิเมตร แล้วนำมาทดสอบด้วยเครื่อง Strograph E-S Universal Tensile Testing Machine โดยตั้งภาวะของเครื่อง ดังนี้

ขนาด load cell	500 นิวตัน
ระยะทดสอบ (gage length)	50 มิลลิเมตร

อัตราเร็วในการดึง

100 มิลลิเมตรต่อนาที

จากนั้นจึงเริ่มดึงขึ้นตัวอย่าง บันทึกค่าแรงดึงสูงสุดและต่ำสุดที่อ่านได้จากการฟรื้อน้ำปั๊บของเครื่องมีหน่วยเป็นนิวตัน

การศึกษาพิล์มน้ำหนาทำการปิดผนึก

นำตัวอย่างพิล์มน้ำหนาต่างๆ มาทำการปิดผนึกโดยใช้เครื่องทดสอบการปิดผนึกด้วยความร้อน (Heat Sealer Tester) และกำหนดภาวะต่างๆ กัน เพื่อนำไปวิเคราะห์ปัจจัยที่มีผลต่อรอบปิดผนึก ดังนี้

ปัจจัยของเครื่องปิดผนึก

ปัจจัยสามประการของเครื่องปิดผนึกที่จำเป็นต้องควบคุมในขณะทำการปิดผนึกด้วยความร้อนได้แก่ อุณหภูมิเวลา และความดัน โดยใช้พิล์ม 5 ชนิด คือ OPP20/PE25/LLDPE25, OPP20/PE28, OPP20/PP25, OPP20/CPP30 และ OPP20/MCPP25

นำพิล์มแต่ละชนิดมาทำการปิดผนึกโดยให้ความดันและเวลาคงที่ คือใช้ความดัน 1.5 บาร์ เวลา 0.5 วินาที และเพิ่มอุณหภูมิทุก 5 °C ตั้งแต่ 95 °C ถึง 160 °C เพื่อถูนานาในมีความแข็งแรงของรอบผนึกเมื่ออุณหภูมิเปลี่ยนแปลงไป

จากการศึกษาปัจจัยของอุณหภูมิทำให้ทราบอุณหภูมิที่เหมาะสมต่อความแข็งแรงของรอบผนึกใช้อุณหภูมิคงกล่าวมาทำการปิดผนึกพิล์ม โดยให้ความดันคงที่ คือ 1.5 บาร์ และเปลี่ยนเวลาเพื่อคุณภาพในมีความแข็งแรงของรอบผนึกจากการศึกษามีองค์นี้ ทำให้ได้เวลาและอุณหภูมิที่เหมาะสมกับความแข็งแรงของรอบผนึกให้นำอุณหภูมิ และเวลาตั้งกล่าว มาทำการปิดผนึก เพื่อหาแนวโน้มความแข็งแรงของรอบผนึกเมื่อความดันเปลี่ยนแปลงไป โดยใช้ความดันระหว่าง 0.5 ถึง 3.5 บาร์

ปัจจัยทางความหนาของชั้นปิดผนึก

ใช้พิล์มที่มีความหนาของชั้นปิดผนึกแตกต่างกันโดยใช้ความดัน 1.5 บาร์ และเวลา 0.5 วินาที แล้วเปลี่ยนค่าของอุณหภูมิในการปิดผนึก ตัวอย่างพิล์มที่ใช้ในการเบรินก์เทียบคือ OPP20/PE28 กับ OPP20/PE30, OPP20/PP25 กับ OPP20/CPP30 และ OPP20/CPP20 กับ OPP20/CPP30

ปัจจัยทางความหนาของพิล์มชั้นนอก

ใช้พิล์มที่มีความหนาของพิล์มชั้นนอกต่างกัน โดยให้ความดันและเวลาคงที่ แต่เปลี่ยนค่าของอุณหภูมิในการปิด พนึกพิล์มที่ใช้ในการเปรียบเทียบคือ OPP20/MCPP25 กับ OPP25/MCPP25

การศึกษาพิล์มหลังจากการปิดผนึก

โดยทดสอบดังนี้

ความแข็งแรงของรอยผนึก (seal strength)

ทำการทดสอบตามมาตรฐาน JIS Z 0238 โดยใช้เครื่อง Strograph E-S Universal Tensile Testing Machine และกำหนดค่าการทดสอบ ดังนี้

ขนาด load cell 500 นิวตัน

ระยะทดสอบ (gage length) 50 มิลลิเมตร

อัตราเร็วในการดึง 100 มิลลิเมตรต่อนาที

ขนาดของชิ้นตัวอย่าง ดังในรูปที่ 1

วิธีการทดสอบเริ่มจากจับชิ้นตัวอย่างด้วยตัวจับของเครื่องแล้วเริ่มดึงชิ้นตัวอย่าง ย่านค่าของแรงที่ใช้ในการดึงจากกราฟ หรือหน้าปัดของเครื่องมีหน่วยเป็นนิวตัน โดยขณะทำการทดสอบให้สังเกตดูกักษะของการขาดว่าเป็นแบบใด

ความทนต่อการคลอก (peel strength)

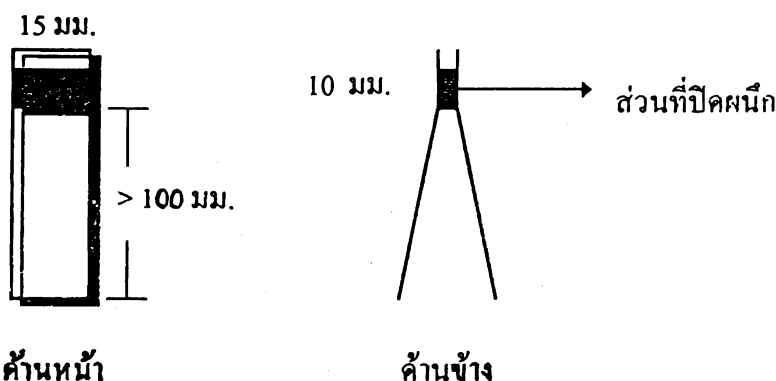
ทดสอบตามมาตรฐาน JIS K 6854 โดยใช้วิธีการคลอกแบบ T-type peel ด้วยเครื่อง Instron Universal Tester โดยตั้งค่าการทดสอบ ดังนี้

ขนาด load cell 5 กิโลนิวตัน

ระยะทดสอบ (gage length) 50 มิลลิเมตร

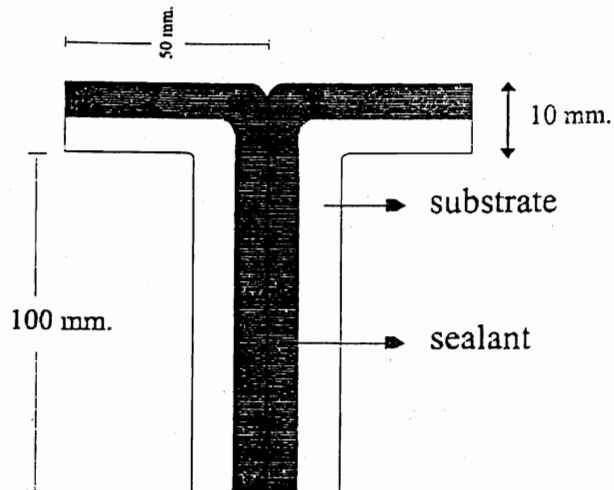
อัตราเร็วในการดึง 100 มิลลิเมตรต่อนาที

ขนาดของชิ้นตัวอย่าง 10 มิลลิเมตร x 150 มิลลิเมตร โดยมีส่วนที่ไม่ได้ปิดผนึกยาว 50 มิลลิเมตร ส่วนที่ปิดผนึกยาว 100 มิลลิเมตร (ดังในรูปที่ 2)



รูปที่ 1 แสดงขนาดของชิ้นงานที่ใช้ในการทดสอบความแข็งแรงของรอยผนึก

Heat Sealing of PP Film in Flexible Packaging.



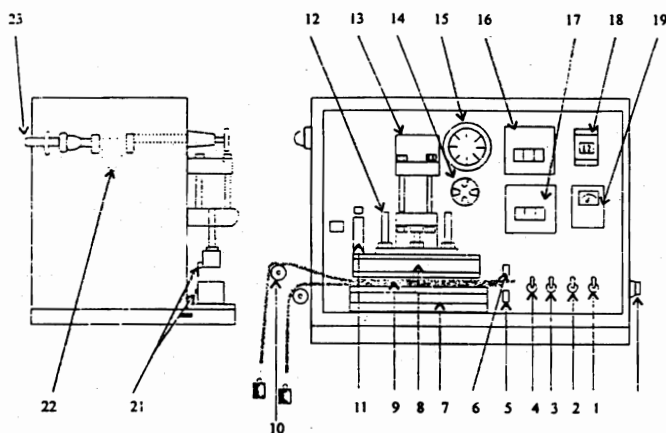
รูปที่ 2 แสดงขนาดของชิ้นงานที่ใช้ในการทดสอบความทนต่อการลอก

การทดสอบเริ่มจากการจับชิ้นตัวอย่างด้วยตัวจับเครื่องโดยวางตัวอย่างไว้ในรูปตัว T แล้วจึงเริ่มดึงชิ้นงานอ่านค่าแรงที่ใช้ในการดึงทุกๆ ระยะ 10 มิลลิเมตร จนครบ 5 จุด ถ้าพิล์มมีความทนต่อการลอกในระหว่างที่มีการดึงเท่ากันหรือใกล้เคียงกันแสดงว่าพิล์มมีความสมบูรณ์ของรอยพนึก (seal integrity)

ความแข็งแรงของรอยพนึกขณะร้อน (hot tack)

ทดสอบโดยใช้เครื่องปิดพนึกด้วยความร้อน ดังรูปที่ 3 ตัดชิ้นตัวอย่างขนาด 25 มิลลิเมตร x 800 มิลลิเมตร จำนวน 2 ชิ้น นำส่วนที่เป็นสารปิดพนึกมาประกบกัน หนึ่งป้ายของพิล์มแต่ละชิ้นด้วยทุมน้ำหนักขนาด 45 กรัม รวมน้ำหนัก 2 ชิ้นเท่ากับ 90 กรัม แล้วจึงนำพิล์มไปเข้าเครื่องปิดพนึกโดยให้ส่วนของถูกทุนน้ำหนักทึบตัวเป็นอิฐระและให้ตัวอย่าง

พิล์มวางไปตามแนวยาวของแท่งปิดพนึกจับป้ายด้านหนึ่งของพิล์มที่ไม่ถูกทุนน้ำหนักไว้ ทำการปิดพนึกพร้อมกับปล่อยตัวพิล์มที่จับไว้ทำให้พิล์มที่ปิดพนึกแล้วแต่ข้างมีรอยพนึกที่ยังร้อนอยู่ เกิดการแยกตัวไปตามน้ำหนักของถูกทุนที่ถ่วงอยู่แต่ละข้างของพิล์ม ทำการวัดความยาวของรอยพนึกที่แยกออกจากกันมีหน่วยเป็นมิลลิเมตร หากพิล์มมีความยาวของรอยแยกมากแสดงว่าพิล์มมีความแข็งแรงของรอยพนึกขณะร้อนต่ำ เนื่องจากมีการเกิดรอยแยก ของพิล์มทันทีหลังการปิดพนึก แต่ถ้าหากพิล์มมีความยาวของรอยแยกน้อย แสดงว่าพิล์มมีความแข็งแรงของรอยพนึกขณะร้อนสูง เนื่องจากพิล์มทั้งสองเกิดพันธะต่อกัน ทำให้รอยพนึกมีความแข็งแรงสูงพอที่จะยึดพิล์มทั้งสองให้ติดกันได้ดี



- | | | |
|------------------------------------|---------------------------------------------------|---------------------------------------------------|
| 1. Main power switch | 10. Roller for hot tack test | 17. Temperature controller for the lower seal bar |
| 2. Timer switch | 11. Limit switch | 18. Digital timer |
| 3. Switch for the upper bar heater | 12. Guide rod | 19. Ammeter |
| 4. Switch for the lower bar heater | 13. Air cylinder | 20. Connector for the start switch |
| 5. Lower heater insert hole | 14. Pressure control value | 21. Temperature sensors |
| 6. Upper heater insert hole | 15. Pressure gauge | 22. Air filter |
| 7. Lower seal bar | 16. Temperature controller for the upper seal bar | 23. Air horse connection |
| 8. Upper seal bar | | |
| 9. Film | | |

รูปที่ 3 เครื่องปิดผนึกด้วยความร้อน

ผลการทดลองและวิจารณ์

ผลการศึกษาสมบัติของพิล์มก่อนการปิดผนึก

ได้ทำการศึกษาความต้านทานแรงดึง ความแข็งแรงของการประกอบและจุดหลอมเหลวของสารปิดผนึก ได้ผลดังแสดงในตารางที่ 2

ตารางที่ 2 สมบัติของพิล์มน้ำหนักซึ่นคือ่อนก่อนการปิดผนึก

พิล์ม	ความต้านทานแรงดึง (นิวตัน/15 10 มิลลิเมตร)	ความแข็งแรงของการประกอบ (นิวตัน/15 10 มิลลิเมตร.)	จุดหลอมเหลวของสารปิดผนึก (°ช)
1. OPP20/PE25/LLDPE25	0.30 - 1.80	45.80	104/123
2. OPP20/PE30	1.22 - 1.70	29.33	105
3. OPP20/PE28	0.38 - 3.00	28.33	105
4. OPP20/PP30	0.29 - 1.35	31.74	144
5. OPP20/PP25	0.32 - 1.70	26.98	144
6. OPP20/CPP30	0.80 - 1.30	32.60	140
7. OPP20/CPP20	0.42 - 1.25	45.80	147
8. OPP20/MCPP25	0.17 - 0.60	27.29	138
9. OPP25/MCPP25	0.10 - 2.09	57.20	136

Heat Sealing of PP Film in Flexible Packaging.

ผลการศึกษาสมบัติของพีล์มขณะทำการปิดผนึก

ผลการศึกษาปัจจัยของเครื่องที่มีผลต่อรอบปิดผนึก

จากการศึกษาผลของอุณหภูมิ ความดันและเวลาในการปิดผนึกของพีล์ม 5 ชนิด ได้ผลดังแสดงในตารางที่ 3 ถึง 5 และแสดงในกราฟรูปที่ 4 ถึง 6

ตารางที่ 3 การเปลี่ยนแปลงความแข็งแรงของรอยผนึกของพีล์มชนิดต่างๆ เมื่อมีการเปลี่ยนแปลงของอุณหภูมิที่ความดัน 1.5 บาร์ เวลา 0.5 นาที

อุณหภูมิ (°C)	OPP20/PE25/LLDPE25		OPP20/PE28		OPP20/PP25		OPP20/CPP30		OPP20/MCPP25	
	SS	MOF	SS	MOF	SS	MOF	SS	MOF	SS	MOF
95			0.06	P						
100			0.31	P						
105			4.45	D						
110			4.79	D						
115	0.09	P	5.72	D						
120	0.56	P	5.87	D	0.02	P			0.05	P
125	2.26	P	5.54	D	0.04	P			0.15	P
130	9.46	D	5.56	D	0.31	P	0.28	P	2.15	P
135	10.62	D	5.83	D	1.49	P	4.34	P	6.54	P
140	11.00	D	5.80	D	4.41	P	14.07	D	8.96	D
145	14.13	D	5.84	D	5.8	P	14.13	D	8.96	D
150	38.08	F			7.96	D	14.73	D	10.90	D
155							15.35	D		
160							14.56	D		

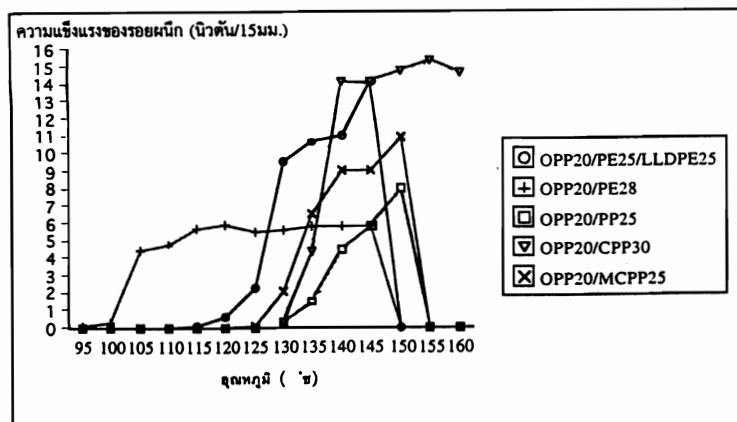
SS = Seal Strength, ความแข็งแรงของรอยผนึก

P = Pell, การหลอก

MOF = Mode of Failure, รูปแบบของการแตก

D = Delamination, การแยกประกอบ

F = Fail, พีล์มขาด

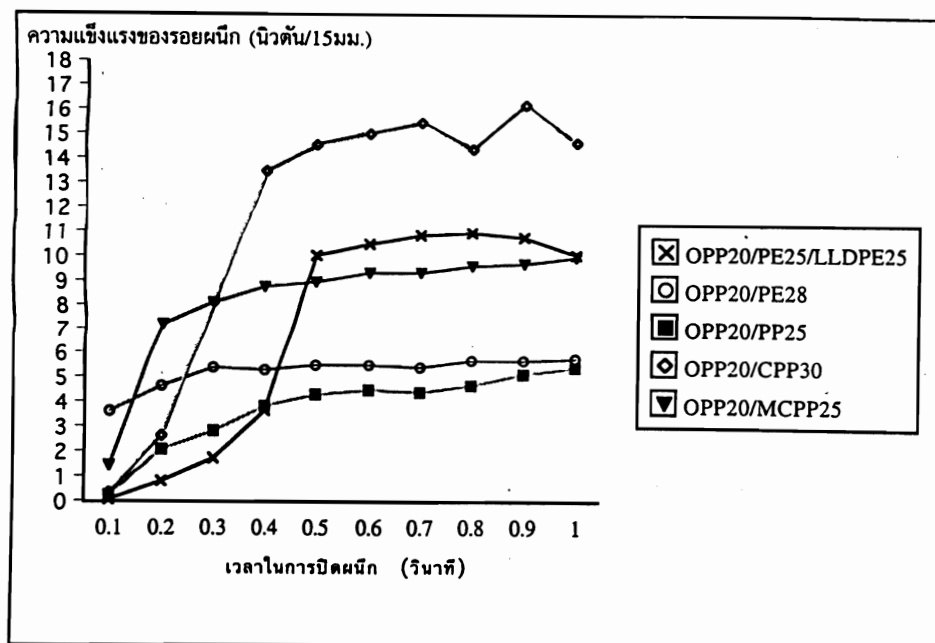


รูปที่ 4 ความแข็งแรงของรอยผนึกของพีล์มชนิดต่างๆ เมื่ออุณหภูมิการปิดผนึกเปลี่ยนแปลงที่ความดัน 1.5 บาร์และเวลา 0.5 วินาที

ตารางที่ 4 การเปลี่ยนแปลงความแข็งแรงของรอยนิ่กของพีล์มชนิดต่างๆ เมื่อเวลาที่ใช้ในการปิดผนึกเปลี่ยนแปลงไปโดยมีค่าความดัน 1.5 บาร์ และอุณหภูมิคงที่

เวลา (วินาที)	OPP20/PE25/LLDPE25		OPP20/PE28		OPP20/PP25		OPP20/CPP30		OPP20/MCPP25	
	SS	MOF	SS	MOF	SS	MOF	SS	MOF	SS	MOF
0.1	0.13	P	3.63	D	0.25	P	0.35	P	1.50	P
0.2	0.81	P	4.62	D	2.08	P	2.68	P	7.17	D
0.3	1.74	P	5.37	D	2.78	P	8.10	P	8.13	D
0.4	3.67	P	5.27	D	3.85	P	13.47	D	8.76	D
0.5	9.99	D	5.41	D	4.25	P	14.57	D	8.87	D
0.6	10.43	D	5.43	D	4.47	P	15.03	D	9.31	D
0.7	10.85	D	5.36	D	4.36	P	15.49	D	9.31	D
0.8	10.88	D	5.68	D	4.61	P	14.38	D	9.56	D
0.9	10.73	D	5.63	D	5.11	P	16.21	D	9.63	D
1	9.97	D	5.70	D	5.33	P	14.60	D	9.87	D

หมายเหตุ คำย่อใช้เช่นเดียวกับตารางที่ 3



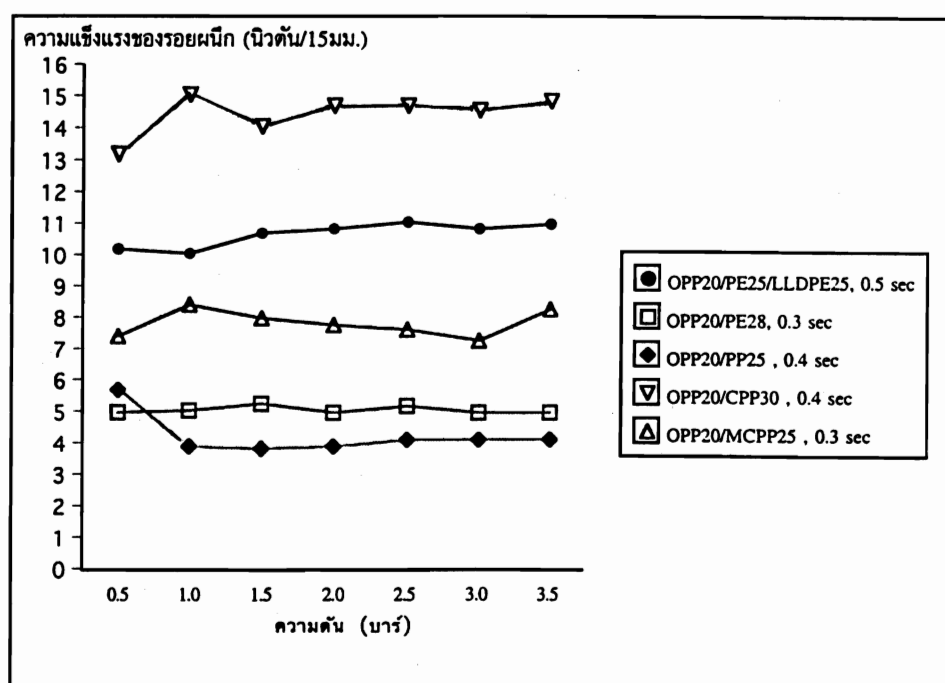
รูปที่ 5 ความแข็งแรงของรอยนิ่กของพีล์มชนิดต่างๆ เมื่อเวลาการปิดผนึกเปลี่ยนแปลงที่ความดัน 1.5 บาร์ และอุณหภูมิคงที่

Heat Sealing of PP Film in Flexible Packaging.

ตารางที่ 5 การเปลี่ยนแปลงความแข็งแรงของรอยผนึกของฟิล์มชนิดต่างๆ เมื่อความดันเปลี่ยนแปลง โดยมีเวลาในการปิดผนึกและอุณหภูมิคงที่

ความดัน (บาร์)	OPP20/PE25/LLDPE25		OPP20/PE28		OPP20/PP25		OPP20/CPP30		OPP20/MCPP25	
	SS ที่ 0.5 sec	MOF	SS ที่ 0.3 sec	MOF	SS ที่ 0.4 sec	MOF	SS ที่ 0.4 sec	MOF	SS ที่ 0.3 sec	MOF
0.5	10.18	D	4.98	D	5.74	P	13.21	D	7.46	D
1.0	10.05	D	5.07	D	3.94	P	15.05	D	8.46	D
1.5	10.74	D	5.32	D	3.83	P	14.06	D	8.03	D
2.0	10.84	D	4.98	D	3.94	P	14.69	D	7.82	D
2.5	11.08	D	5.20	D	4.12	P	14.69	D	7.61	D
3.0	10.87	D	5.02	D	4.15	P	14.58	D	7.28	D
3.5	11.02	D	4.99	D	4.16	P	14.88	D	8.32	D

หมายเหตุ คำย่อใช้เช่นเดียวกับตารางที่ 3



รูปที่ 6 ความแข็งแรงของรอยผนึกของฟิล์มชนิดต่างๆ เมื่อความดันในการปิดผนึกเปลี่ยนแปลง โดยมีอุณหภูมิและเวลาในการผนึกคงที่

จากตารางที่ 3 และกราฟรูปที่ 4 จะเห็นว่าเมื่อ อุณหภูมิในการปิดผนึกเพิ่มขึ้นความแข็งแรงของรอยผนึกจะ เพิ่มขึ้นจนถึงจุดหนึ่งที่ความแข็งแรงของรอยผนึกจะเพิ่มขึ้น จนถึงจุดหนึ่งที่ความแข็งแรงของรอยผนึกมีค่าคงที่ เมื่อจาก ได้รับความร้อนเพียงพอในการทำให้ไมเลกุลทั้งหมดของสาร ปิดผนึกเกิดการหลอมเหลวและมีอิสระมากขึ้น ไมเลกุลอิสระ ที่มากขึ้นนี้เองจะก่อให้เกิดการสร้างพันธะได้มากขึ้น จึงทำ ให้ได้รอยผนึกที่มีความแข็งแรงมากขึ้น จนถึงจุดหนึ่งที่จะให้ ความร้อนเพียงพอต่อการทำให้ไมเลกุลของชั้นปิดผนึกเกิด การหลอมเหลวอย่างสมบูรณ์แล้วค่าความแข็งแรงของรอย ผนึกมีค่าคงที่นี้จะเป็นอุณหภูมิที่เหมาะสมต่อการปิดผนึก พลัม เนื่องจากอุณหภูมิที่เหมาะสมต่อการปิดผนึกพลัมควร เป็นอุณหภูมิต่ำสุด ที่สามารถให้ค่าความแข็งแรงของรอยผนึก สูงสุดได้ โดยรอยปิดผนึกที่ได้จะต้องมีความเรียบสม่ำเสมอ ไม่เกิดรอยบั่นหรือหดตัวของพลัม และไม่เกิดการบิดเบี้ยวของ รอยผนึก (seal distortion)

จากรูปที่ 5 จะเห็นว่าแนวโน้มของความแข็งแรง ของรอยผนึกเพิ่มขึ้นเมื่อเวลาของการปิดผนึกเพิ่มขึ้น จนถึง จุดหนึ่งก็จะคงที่ เมื่อจากเมื่อใช้เวลาในการปิดผนึกเพิ่มขึ้น ไมเลกุลอิสระของชั้นปิดผนึกจะมีเวลาในการแตกเปลี่ยนสาย

ตารางที่ 6 การเปลี่ยนแปลงความแข็งแรงของรอยผนึก เมื่อเปลี่ยนแปลงความหนาของชั้นปิดผนึกของพลัม OPP/PE

อุณหภูมิ (°C)	ภาวะการปิดผนึกที่ 1.5 บาร์ และ 0.5 วินาที			
	OPP20/PE28		OPP20/PE30	
	SS	MOF	SS	MOF
95	0.06	P		
100	0.31	P	1.46	P
105	4.45	D	6.40	P
110	4.79	D	6.06	P
115	5.72	D	8.42	D
120	5.87	D	7.48	D
125	5.54	D	8.18	D
130	5.56	D	7.14	D
135	5.83	D	7.99	D
140	5.80	D	8.00	D
145	5.84	D	7.99	D

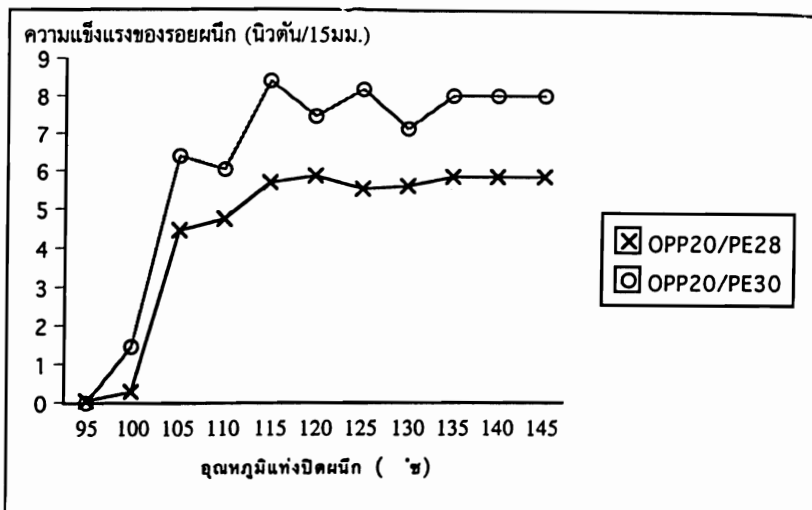
ไซโนเลกุลและเกิดการเก็บพันได้มากขึ้น จึงทำให้มีพันธะใน การปิดผนึกที่แข็งแรงขึ้นและเมื่อเกิดการแตกเปลี่ยนสาย ไซโนเลกุลทั้งหมดแล้ว ค่าความแข็งแรงของ รอยผนึกจะคงที่จุดแรกที่ความแข็งแรงของรอยผนึกมีค่าคงที่ จะเป็นเวลาที่เหมาะสมในการปิดผนึก โดยจะสอดคล้องกับ การเปลี่ยนรูปแบบของการขาด คือ เป็นร่องจากแบนลอก (peel) นาเป็นแบนแยกประกลบ (delamination)

จากรูปที่ 6 จะเห็นว่าความดันของการปิดผนึกของ พลัมในช่วง 0.5 ถึง 3.5 บาร์ ไม่มีผลต่อค่าความแข็งแรงของ รอยผนึกมากนัก ทั้งนี้เนื่องจากความดันในการปิดผนึกเป็น เพียงการช่วยทำให้ไมเลกุลอิสระของชั้นปิดผนึกเกิดการสัมผัส กันที่ผิวสัมผัสได้มากยิ่งขึ้น ไม่มีส่วนช่วยในการเกิดพันธะจึง ทำให้การเพิ่มความดันมีผลน้อยต่อความแข็งแรงของรอยผนึก ผลการศึกษาปัจจัยทางความหนาของชั้นปิดผนึก

- พลัม OPP/PE

ผลการศึกษาการเปลี่ยนแปลงค่าความแข็งแรงของ รอยผนึกเมื่อเปลี่ยนแปลงอุณหภูมิในการปิดผนึกของพลัมที่มี ความหนาของชั้นปิดผนึกต่างกัน โดยให้ความดันและเวลาในการปิดผนึกคงที่ ดังแสดงในตารางที่ 6 และกราฟรูปที่ 7

Heat Sealing of PP Film in Flexible Packaging.



รูปที่ 7 การเปลี่ยนแปลงความแข็งแรงของรอยผนึก เมื่อเปลี่ยนแปลงความหนาของชั้นปิดผนึกของฟิล์ม OPP/PE
ที่ความดัน 1.5 บาร์ เวลา 0.5 วินาที

ฟิล์ม OPP/PE ทั้งสองชนิดมีความหนาของชั้นปิดผนึกต่างกัน 2 ไมโครเมตร (PE30 กับ PE28) ซึ่งถือว่าเป็นความหนาที่ต่างกันน้อยมาก ดังนั้นอาจถือได้ว่าความหนาของฟิล์มรวมทั้งหมดจะมีผลต่ออัตราการถ่ายเทความร้อนจากฟิล์มชั้นนอกเข้าสู่ผิวสัมผัสระหว่างชั้นปิดผนึกนั้นมีผลน้อยมากนั่นคือ เมื่อให้ความร้อนแก่ฟิล์มทั้งสองชนิด ด้วยอุณหภูมิของแท่งปิดผนึกเดียวกัน ความร้อนจะถ่ายเทจากฟิล์มชั้นนอกไปยังผิวสัมผัสกับชั้นปิดผนึกได้อุณหภูมิที่เท่ากัน ชั้นปิดผนึกของฟิล์มทั้งสองชนิดจะได้รับปริมาณความร้อนเท่ากัน ดังนั้น เมื่อความหนาของชั้นปิดผนึกที่แตกต่างกัน และได้รับความร้อนและเวลาในการปิดผนึกที่เท่ากัน ความแข็งแรงของรอยผนึกน่าจะขึ้นกับอัตราเร็วในการแยกเปลี่ยนสายโซ่ไมโครกลูต และการเกี่ยวพันกันที่ผิวสัมผัสฟิล์มที่มีชั้นปิดผนึกหนาจะมีสายโซ่ไมโครกลูตมาก จึงทำให้มีอัตราการแยกเปลี่ยนสายโซ่ไมโครกลูต และการเกี่ยวพันมากกว่าฟิล์มที่มีสารปิดผนึกบาง ดังนั้นจึงมีความแข็งแรงของรอยผนึกสูงกว่า

- ฟิล์ม OPP/CPP

ผลการศึกษาการเปลี่ยนแปลงค่าความแข็งแรงของรอยผนึกเมื่ออุณหภูมิการปิดผนึกเปลี่ยนแปลงไป โดยให้ความดันและเวลาในการปิดผนึกคงที่ฟิล์ม OPP/CPP ที่มีความหนาของชั้นปิดผนึกที่แตกต่างกัน แสดงในตารางที่ 7 และกราฟรูปที่ 8

จากราฟรูปที่ 8 จะเห็นว่าฟิล์ม OPP/CPP ที่มีชั้นปิดผนึกหนา (CPP30) จะมีค่าความแข็งแรงของรอยผนึกสูงกว่าฟิล์มชั้นที่มีชั้นปิดผนึกบาง (CPP20) อย่างมาก ซึ่งสามารถอธิบายเช่นเดียวกับฟิล์ม OPP/PE ในແນ່ທີ່ການມีชั้นปิดผนึกหนาทำให้มีจำนวนสายโซ่ไมโครกลูตที่จะเกิดพันธะได้มาก จึงทำให้มีค่าความแข็งแรงของรอยผนึกสูง เพที่ฟิล์มทั้งสองนี้มีความหนารวมต่างกันถึง 10 ไมโครเมตร ซึ่งต่างจากการผลิตของฟิล์ม OPP/PE ดังนั้น อัตราการถ่ายเทความร้อนจากฟิล์มชั้นนอกไปสู่ชั้นปิดผนึกน่าจะมีผลจากความหนารวมของฟิล์มมากเท่าที่จะดู คือ ถ้าหากฟิล์มหนาขึ้น อัตราการถ่ายเทความร้อนจะช้าลง และในกรณีนี้ ใช้ส่วนที่เป็นสารปิดผนึกบางที่มีจุดหลอมเหลวสูงกว่าส่วนที่เป็นสารปิดผนึกหนาเพียงเล็กน้อย คือ CPP20 มีจุดหลอมเหลว 147°C ในขณะที่ CPP30 มีจุดหลอมเหลว 140°C ซึ่งเป็นการปรับตัวแปรในด้านความหนาร่วมที่มีผลต่ออัตราการถ่ายเทความร้อนจากฟิล์มชั้นนอกไปสู่ชั้นปิดผนึก จึงทำให้ฟิล์ม OPP20/CPP30 ซึ่งมีความหนาของสารปิดผนึกสูงยังคงมีค่าความแข็งแรงของรอยผนึกสูงกว่าฟิล์ม OPP20/CPP20 ดังนั้น สรุปได้ว่าถ้าต้องการให้ฟิล์มนี้มีค่าความแข็งแรงของรอยผนึกสูง จึงควรเลือกฟิล์มที่มีสารปิดผนึกหนาชั้นเล็กน้อยและมีจุดหลอมเหลวของชั้นปิดผนึกต่ำ เมื่อครุภัณฑ์ของการขาดมาประกอบการพิจารณาแล้ว

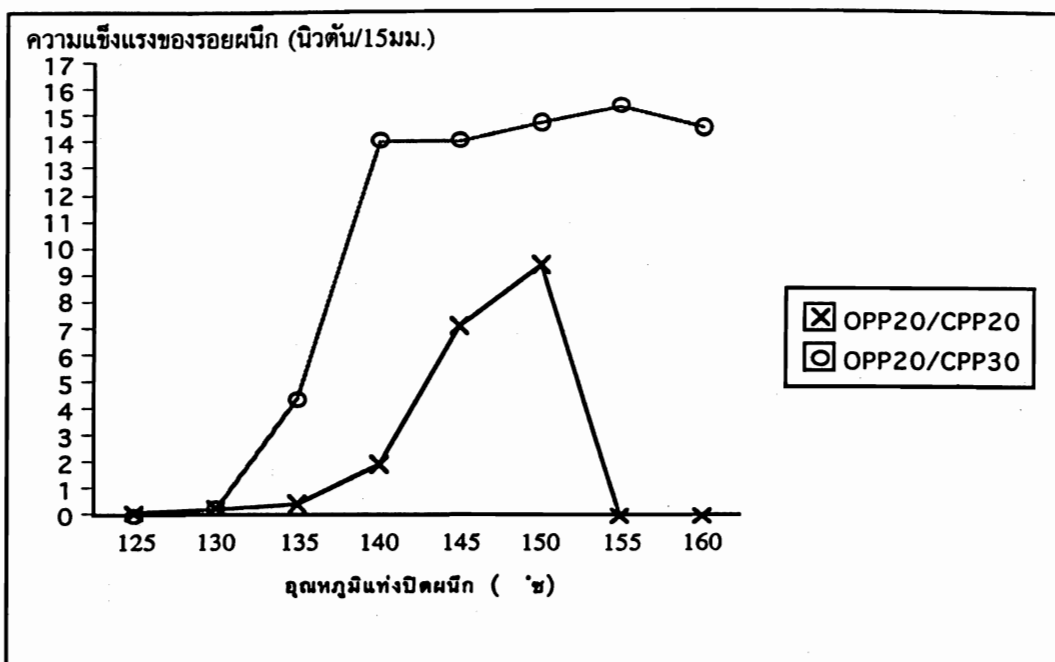
สรุปได้ว่า พิล์ม OPP20/CPP20 และ OPP20/CPP30 จึงมี อุณหภูมิที่เหมาะสมต่อการปิดผนึกที่อุณหภูมิแห่งปิดผนึก 150 °C

ผลการศึกษาปัจจัยความหนาของพิล์มชั้นนอก (OPP)

ผลการศึกษาการเปลี่ยนแปลงความแข็งแรงของ รอยผนึกเมื่ออุณหภูมิเปลี่ยนแปลงไป โดยให้ความดันและ เวลาในการปิดผนึกคงที่ของพิล์ม OPP/MCPP ที่มีความ หนาของพิล์มชั้นนอก (OPP) แตกต่างกันแสดงดังในตาราง ที่ 8 และกราฟรูปที่ 9

ตารางที่ 7 การเปลี่ยนแปลงค่าความแข็งแรงของรอยผนึกเมื่อเปลี่ยนแปลงความหนาของชั้นปิดผนึกของพิล์ม OPP/CPP

อุณหภูมิ (°C)	ภาวะการปิดผนึกที่ 1.5 บาร์ และ 0.5 วินาที			
	OPP20/CPP20		OPP20/CPP30	
	SS	MOF	SS	MOF
125	0.06	P		
130	0.25	P	0.28	P
135	0.47	P	4.34	P
140	1.89	P	14.07	D
145	7.13	P	14.13	D
150	9.36	F	14.73	D
155			15.35	D
160			14.56	D

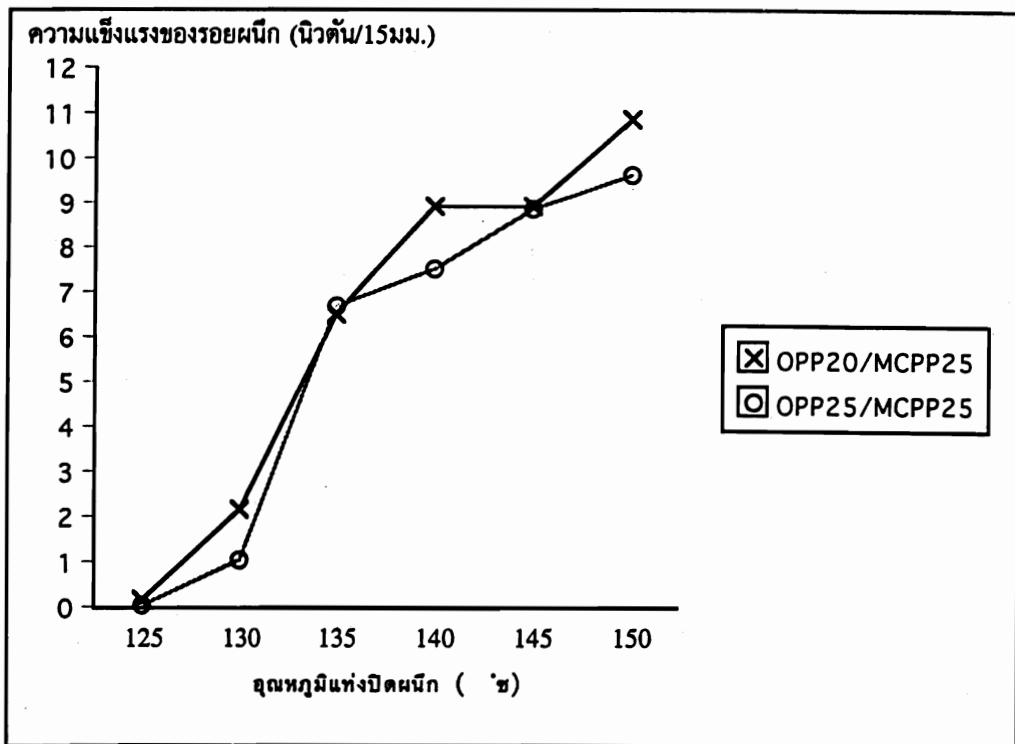


รูปที่ 8 การเปลี่ยนแปลงความแข็งแรงของรอยผนึก เมื่อเปลี่ยนแปลงความหนาของชั้นปิดผนึกพิล์ม OPP/CPP ที่ความดัน 1.0 บาร์ เวลา 0.5 วินาที

Heat Sealing of PP Film in Flexible Packaging.

ตารางที่ 8 การเปลี่ยนแปลงความแข็งแรงของรอยพนึก เมื่อเปลี่ยนแปลงความหนาของฟิล์มชั้นนอกของฟิล์ม OPP/MCPP

อุณหภูมิ (°ช)	ภาวะการปิดผนึกที่ 1.5 บาร์ และ 0.5 วินาที			
	OPP20/CPP25		OPP25/MCPP25	
	SS	MOF	SS	MOF
125	0.15	P	0.04	P
130	2.15	P	1.07	P
135	6.54	P	6.72	P
140	8.96	D	7.51	D
145	8.96	D	8.91	D
150	10.9	D	9.67	D



รูปที่ 9 การเปลี่ยนแปลงความแข็งแรงของรอยพนึก เมื่อเปลี่ยนแปลงความหนาของฟิล์มชั้นนอก

จากูปที่ 9 จะเห็นว่าพิล์มที่มีพิล์มชั้นนอก (OPP20) จะมีค่าความแข็งแรงของรอยผนึกสูงกว่าพิล์มที่มีพิล์มชั้นนอก (OPP25) อาจอธิบายได้เช่นเดียวกับปัจจัยทางความหนาของชั้นปิดผนึกคือ การที่พิล์มชั้นหลักหนาจะมีผลทำให้อัตราการถ่ายเทความร้อนไปสู่ชั้นปิดผนึกได้ช้าลง และอาจเกิดการสูญเสียความร้อน เนื่องจากการปิดผนึกความร้อนเป็นระบบเปิด จากูปแบบการขาดทำให้ประเมินได้ว่า อุณหภูมิแห่งปิดผนึกที่เหมาะสมต่อการปิดผนึกพิล์ม OPP/MCPP ซึ่งเป็นอุณหภูมิที่ MCPP เกิดการหลอมเหลวได้นั้น คือ อุณหภูมิแห่งปิดผนึกที่ 140°C (จุดหลอมเหลวของ MCPP ประมาณ 136°C ถึง 138°C) และจากการที่ห้องส่องจะเห็นว่าในช่วงอุณหภูมิของแห่งปิดผนึกที่เข้าใกล้จุดที่ทำให้ชั้นปิดผนึกหลอมเหลวได้นั้น เส้นกราฟที่ห้องส่องจะมาตัดกันที่อุณหภูมิประมาณ 135°C ซึ่งเมื่อถูกความแข็งแรงของรอยผนึกไม่ต่างกันมากนัก เมื่อยังคงความหนาของพิล์มชั้นหลักไม่มีผลต่อความแข็งแรงของรอยผนึกเลย อาจอธิบายในทำนองเดียว กับปัจจัยทางความหนาของชั้นปิดผนึกของพิล์ม OPP/PP ที่ว่า ในช่วงอุณหภูมิที่เข้าใกล้จะถึงจุดหลอมเหลวของชั้นปิดผนึกเพื่อให้ส่วนผลิกได้รับความร้อนเต็มที่ พร้อมที่จะขยายตัวและเคลื่อนตัวออกจากกัน หรือเกิดการหลอมเหลวของสมบูรณ์ชั้น แต่เนื่องจากพิล์มที่ห้องส่องมีความหนาของชั้นปิดผนึกเท่ากัน จึงทำให้มีสายใยที่จะเกิดการขยายตัวและสร้างพันธะได้เท่ากัน ทำให้มีค่าความแข็งแรงของรอยผนึกเท่ากัน

สรุปผลการทดลอง

ในการปิดผนึกพิล์มด้วยความร้อนให้มีความสมบูรณ์เข้มกับปัจจัยดังนี้

ปัจจัยครื่อง

พบว่าอุณหภูมิและเวลาในการปิดผนึกพิล์มด้วยความร้อนจะมีผลต่อความแข็งแรงและรอยผนึก แต่ความดันในช่วง 0.5 ถึง 3.5 บาร์ มีผลต่อความแข็งแรงของรอยผนึกเพียงเล็กน้อย

ปัจจัยทางความหนาของชั้นปิดผนึก

พิล์มที่มีชั้นปิดผนึกหนาจะให้ค่าความแข็งแรงของรอยผนึกสูงกว่าพิล์มที่มีชั้นปิดผนึกบาง เมื่อพิล์มทึ้งสองกิมมีชั้นปิดผนึกที่มีสมบัติเหมือนกันตลอดช่วงอุณหภูมิแห่งปิดผนึกเมื่อชั้นปิดผนึกมีจุดหลอมเหลวต่ำ และมีอุณหภูมิแห่งปิดผนึกที่สูงพอที่จะทำให้ชั้นปิดผนึกเกิดการหลอมได้

ปัจจัยทางความหนาของพิล์มชั้นนอก

พิล์มที่มีพิล์มชั้นนอกที่บางจะทำให้ค่าความแข็งแรงของรอยผนึกสูงกว่าพิล์มที่มีพิล์มชั้นนอกที่หนากว่า เมื่อพิล์มทึ้งสองแบบมีชั้นปิดผนึกที่มีความหนาเท่ากัน และมีจุดหลอมเหลวใกล้เคียงกัน

เอกสารอ้างอิง

- David, D.S., and Usher, L.M. 1975. High Frequency Sealing of Polyolefin Structure. *Journal of Plastic Film & Sheeting*. 11 : 113-125.
- Gent, A.N. 1977. Peel Mechanics of Adhesive Joints. *Polymer Engineering and Science*. 17 : 462-466.
- Meka, P. and Stehling, F.C. 1994. Heat Sealing of Semicry-stalline Polymer Films. I. Calculation and Measurement of Interfacial Temperatures : Effect of Process Variables of Seal Properties. *Journal of Applied Polymer Science*. 51 : 89-103.
- Nicastro, L. C., Paik, J.S., Keown, R. W. and Metzner, A.B. 1993. Change in Crystallinity During Heat Sealing of Cast Polypropylene Film. *Journal of Plastic Film & Sheeting*. 9 : 159-167.